

STAR 3 – Session thématique et ateliers de neuroradiologie diagnostique

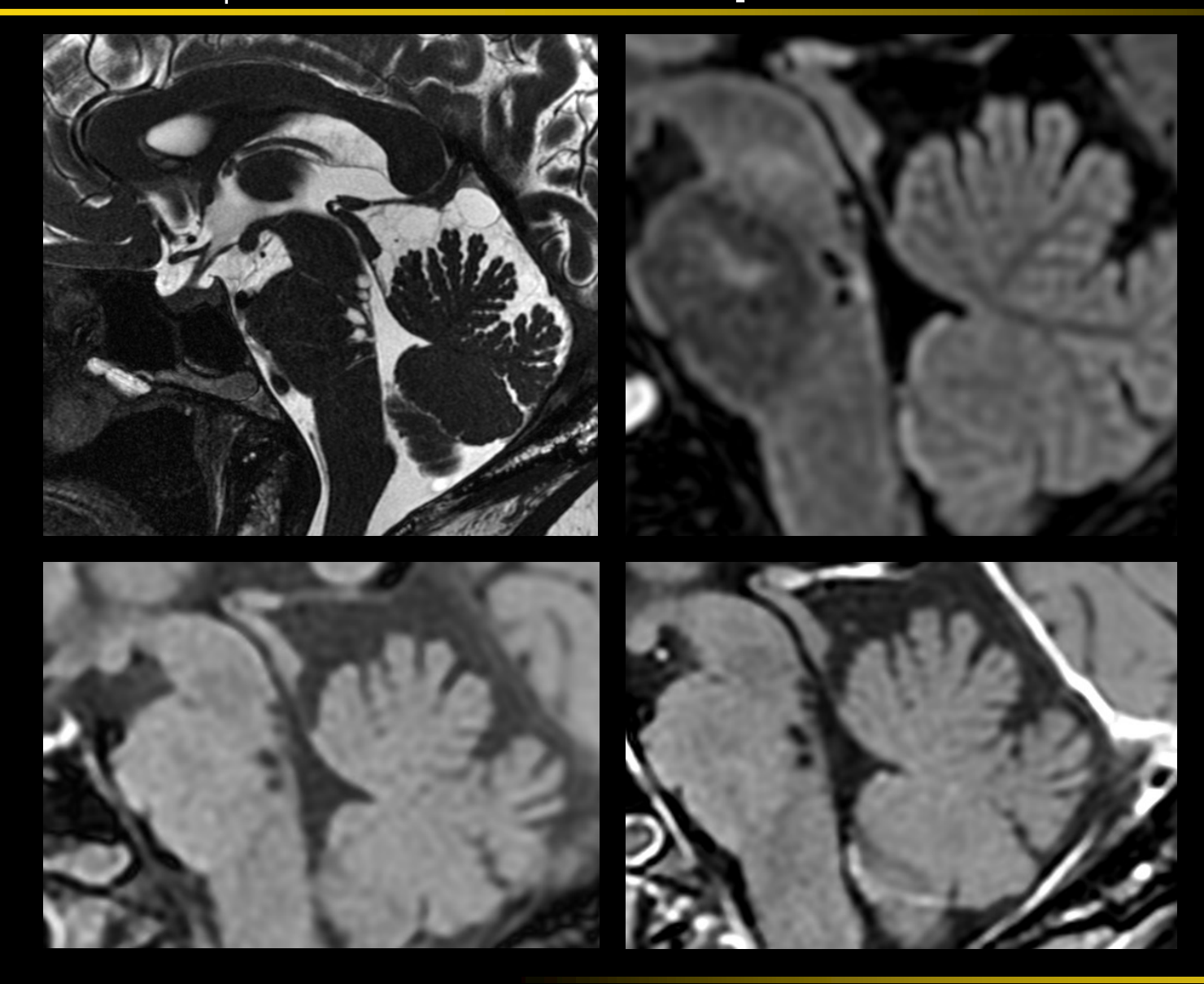
Quelques cas cliniques pour clôturer la session

Thomas• SAMOYEAU



Cas 1 − ♀ 55 ans, céphalées







Espace périvasculaire ou Virchow-Robin



Espaces périvasculaires prenant une apparence « kystique » +/- allongée sur un vaisseau

Types

- 1. Localisé sur les noyaux gris centraux
- 2. Centré sur les veines médullaires perpendiculaire à l'axe des ventricules
- 3. Localisé dans le tronc cérébral
- 4. Localisé dans le lobe temporal

Imagerie : Suit le signal du LCS sur toutes les séquences réalisées +/- vaisseau central

Formes atypiques :

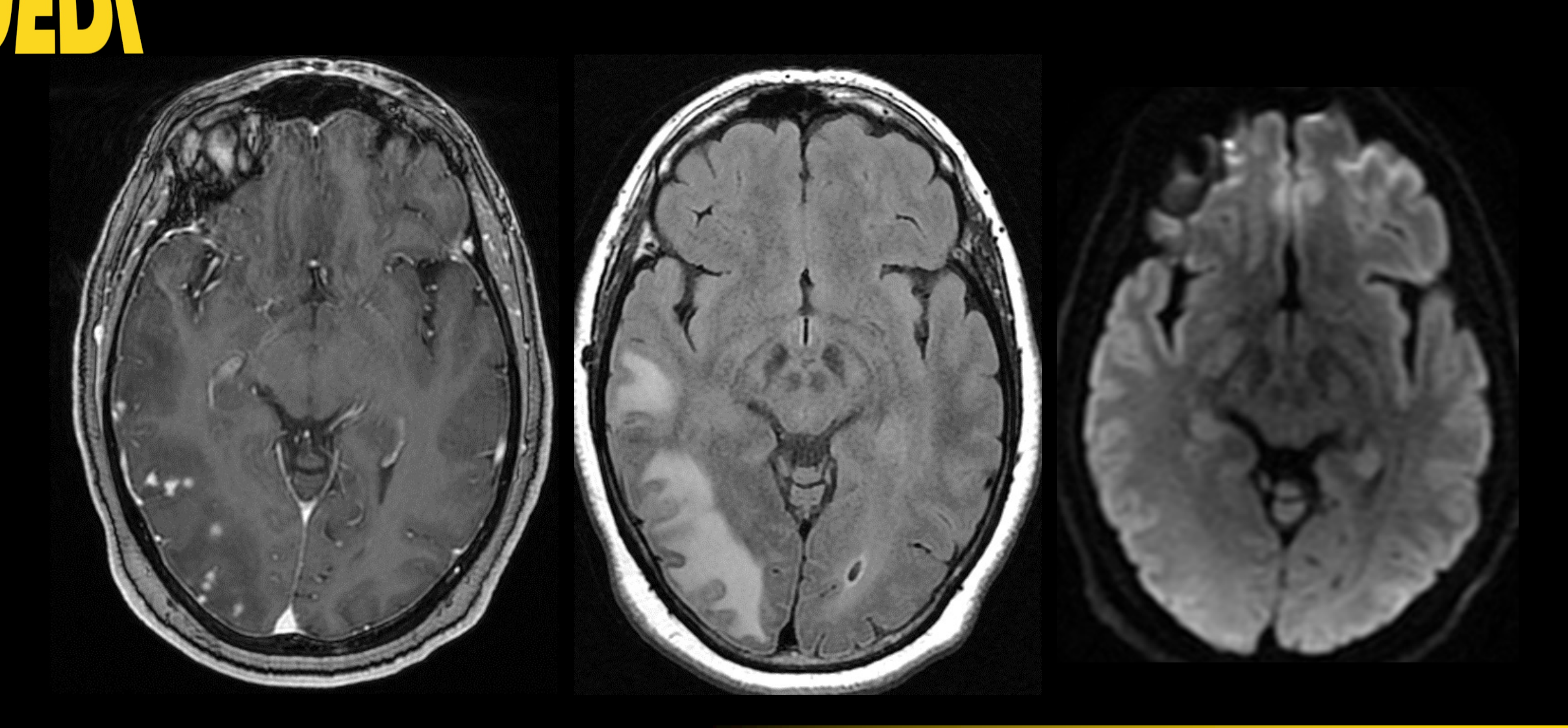
- Effet de masse (notamment si EVR géan)
- Liquide en hypersignal T2 FLAIR (rare, forme exclue ?)
- Gliose adjacente (++ dans la forme temporal antérieure)

JAMAIS de calcification ou de prise de contraste (en dehors du vaisseau central

Perivascular spaces in the brain: anatomy, physiology and pathology; Wardkaw et al., 2020 Nature Review



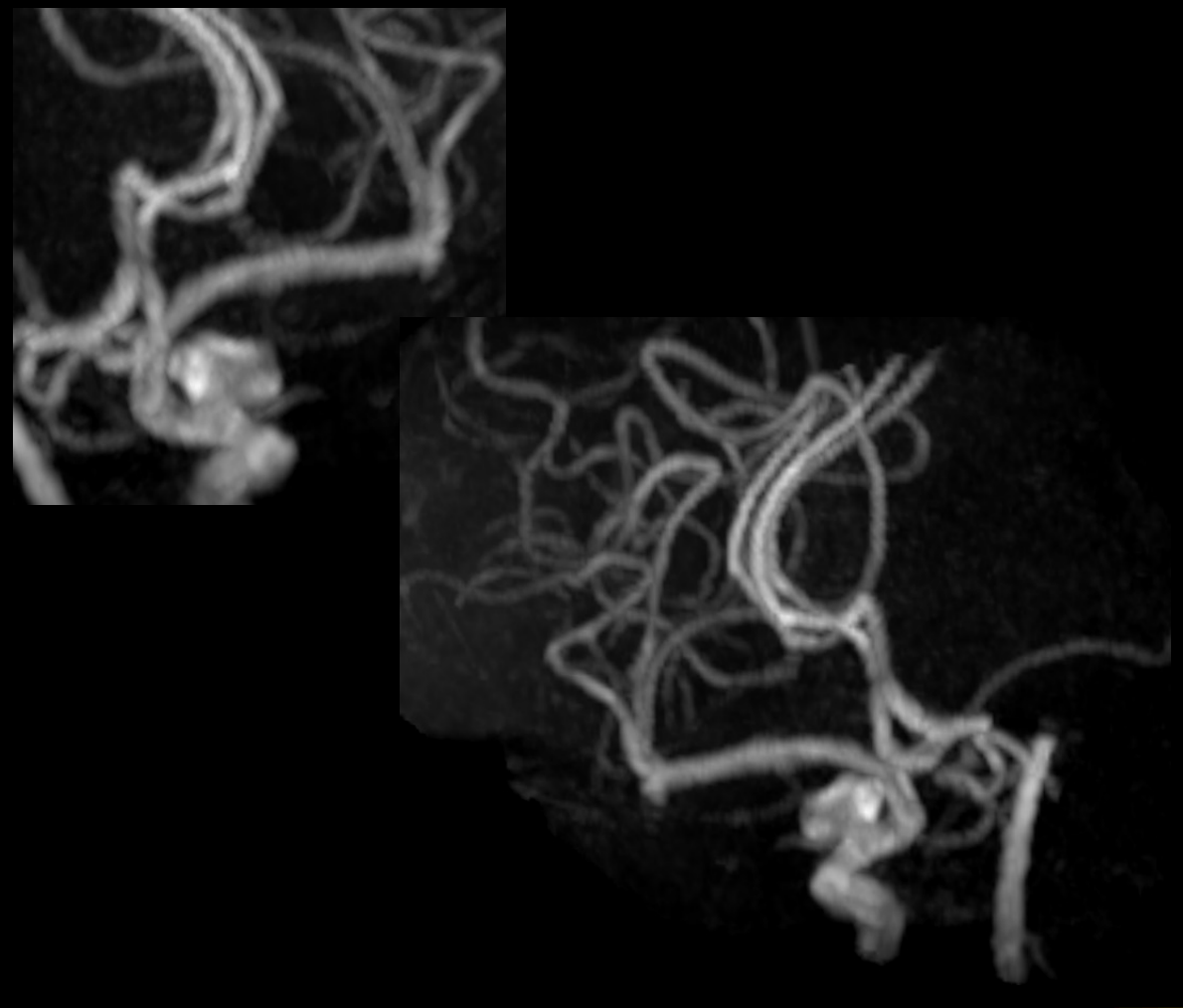
Cas 2 − ♀ 58 ans céphalées



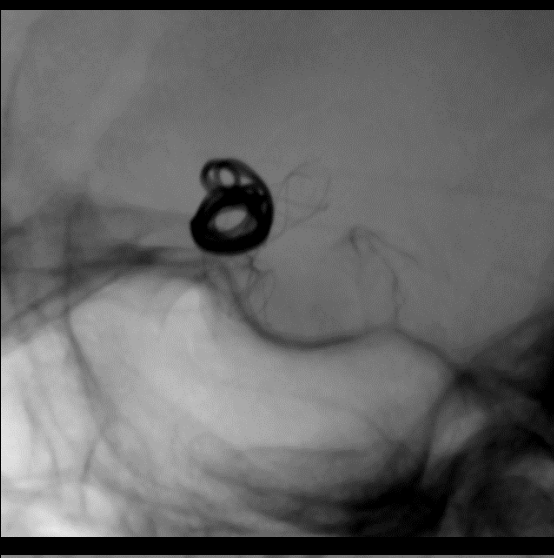
Cas 2 – 58 ans, céphalées



En remontant sur le PACS : Traitement il y a 6 ans d'un anévrisme carotido-ophtalmique DROIT découvert devant des céphalées aspécifiques





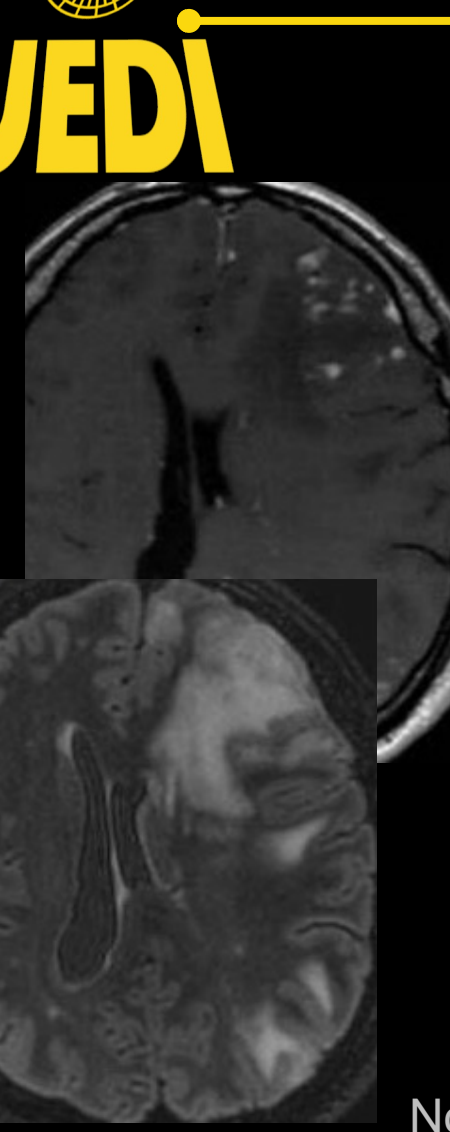




Traitement endovasculaire (stent + coils) sans complication



NICE – Non-ischemic cerebral enhancing lésions



Complication rare des traitements endovasculaires (notamment par coiling et par flow-diverter)

Epidémiologie : ♀ > ♂, apparition retardée (5 +/- 9 mois) après la procédure

Clinique : symptomatiques dans 75% cas, céphalées avec déficit neurologique et/ou épilepsie

Histologie: réaction granulomateuse à des polymères hydrophiles constituants le matériel d'embolisation

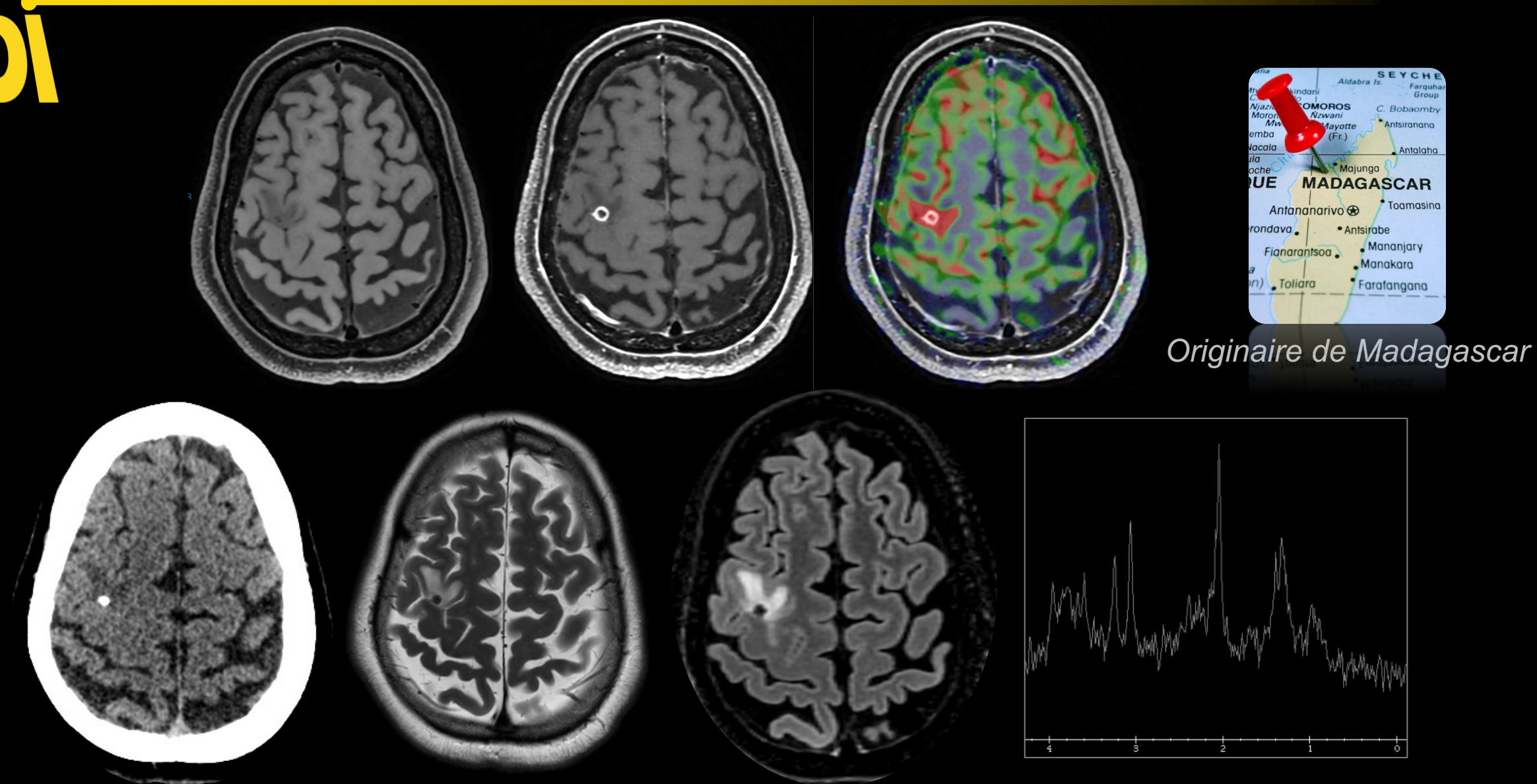
Imagerie : lésions granulomateuses généralement en aval de la zone traitée

- Nodules rehaussées
- Localisées dans la SB / cortex / leptoméningées
- +/- hyposignal T2 central (granulome)
- Diffusion variable / SWI variable

Peut évoluer par poussée et être cortico-dépendant

Non-ischemic cerebral enhancing lesions after intracranial aneurysm endovascular repair: a retrospective French national registry; Shotar et al.; 2021; J. Neurointerventional surgery





Neurocysticercose

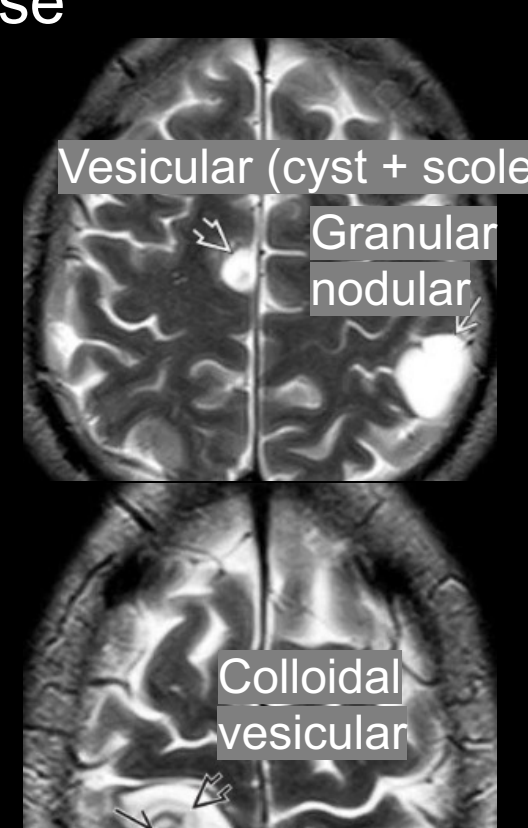
Infection parasitaire du SNC la plus fréquente au monde (*Taenia solium*) Atteinte du SNC dans 60-90%, 1ère cause d'épilepsie acquise

<u>Imagerie</u>

- Sous-arachnoïdien > parenchyme > ventricules (peut sembler "intra-axial" du fait de la reaction inflammatoire)
 - Forme "racémeusese" = kystes intra-arachnoïdiens dans les citernes de la base avec un risque +++ d'AVC
- < 1 cm
- Multiple > solitaire

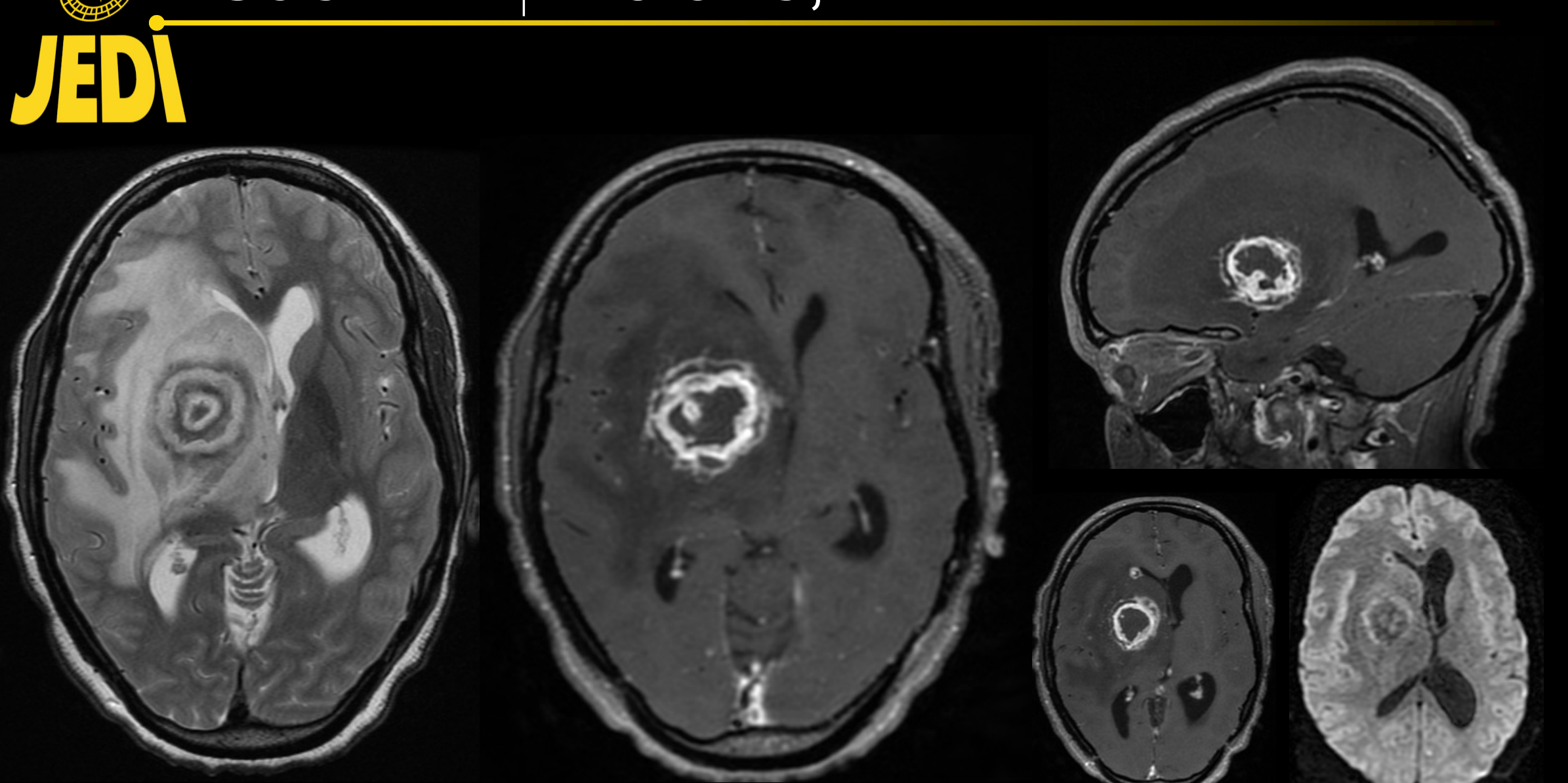
Etapes développementales

- Vésiculeux (larve vivante): kyste + scolex, sans R°
- Vésiculeux colloïde (larve mourante): inflammation ↑↑ + oedème
- Granulo-nodulaire (cicatrisation) = affaissement du kyste et de l'oedème
- Nodulaire calcifié = quiescent





Cas 4 - 25 ans, VIH





Toxoplasmose et VIH

Neurotoxoplasmose: infection parasitaire opportuniste la plus fréquente, particulièrement décrite chez les patients VIH au stade SIDA (<200 CD4)

"Toute prise de contraste cérébrale chez un patient VIH doit faire suspecter (et potentiellement traité) une toxoplasmose cérébrale"; "la résistance au traitement toxoplasmique doit faire suspecter un lymphoma de l'immunodéprimé"

Localisation: Noyaux gris centraux > junction cortico-sous-cortical

<u>Imagerie:</u>

- Abcès cérébral +/- calcifié (à terme)
- Signes « spécifiques »
 - T2 « concentric target sign »: alternance de zone d'encéphalite nécrosante (hyperT2) et de tissu de granulation (hypoT2), supposé très Sp
 - T1 injecté « eccentric target sign »: prise de contraste nodulaire « excentrée » au sein de la lésion abcédée
 - Spectroscopie : pic de lipide ET de lactates, avec baisse Cho, Cr, NAA



Cas 5 – ♂ 68 ans, méningisme et Db insipide





Histiocytose d'Erdheim Chester

Pathologie très rare (< 1500 cas rapportés) mais en incidence croissante Histiocytes/macrophages spumeux + fibroses, BRAF muté dans >50% cas

Epidémiologie : $3 \circlearrowleft > 1 \circlearrowleft$, âgé médian = 55 ans

Pronostic: pathologie systémique, pronostic lié à l'atteinte cardiaque et neurologique Os (90%), cardiovasculaire (45%), rein/rétropéritoine et peau (30%), Db insipide (25%)

<u>Imagerie</u>: 20-50% auront une atteinte neurologique

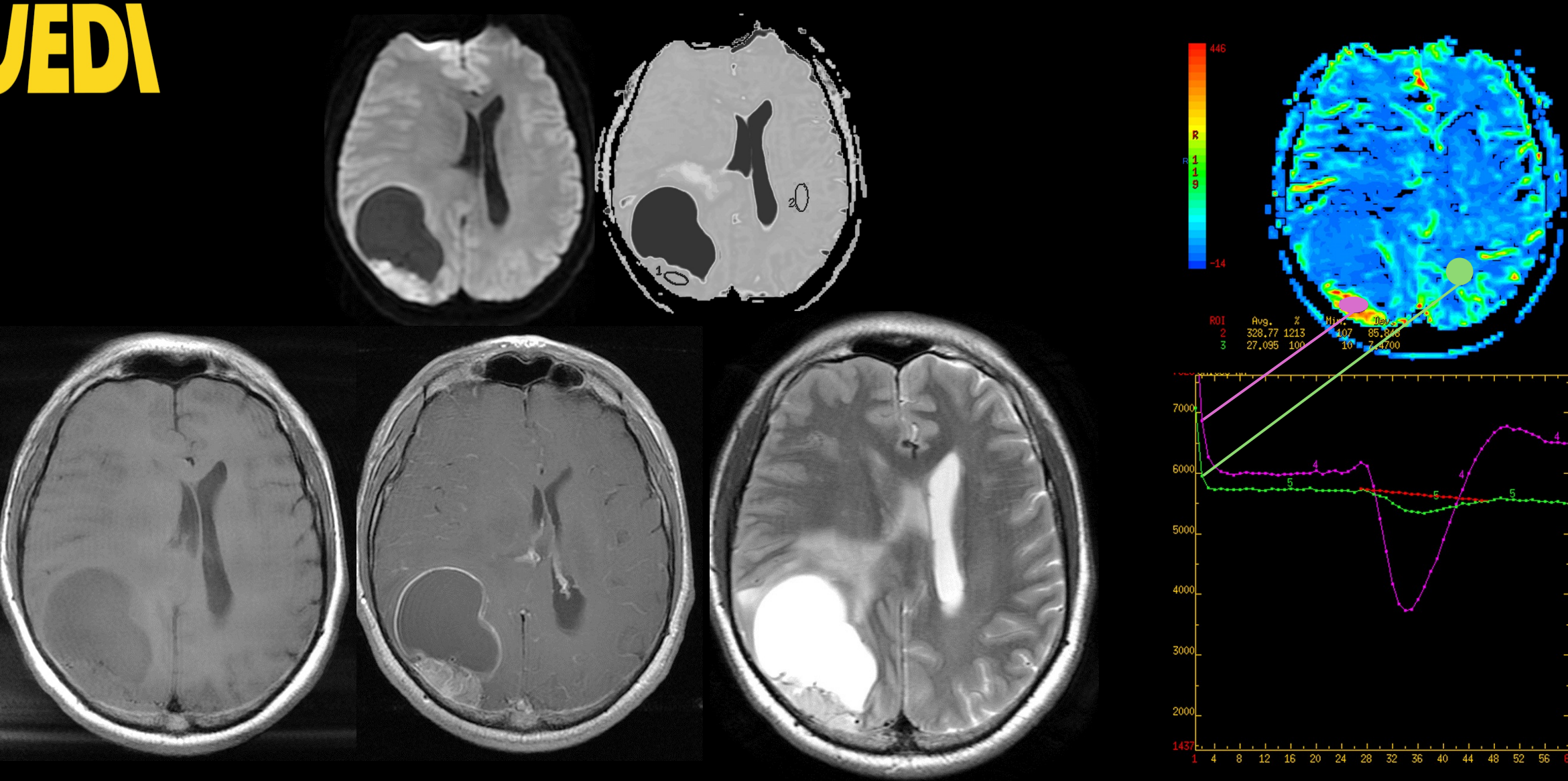
- Tumorale : « pseudo » méningiome ou des masses intracrâniennes réhaussées
- « Pseudo-dégénérative » avec une atteinte des pédoncules cérébelleux moyens, des noyaux dentelés et une atrophie cérébelleuse
- Vasculaire

/!\ Clinique et surtout de l'hypersignal T1 spontané de la posthypophyse



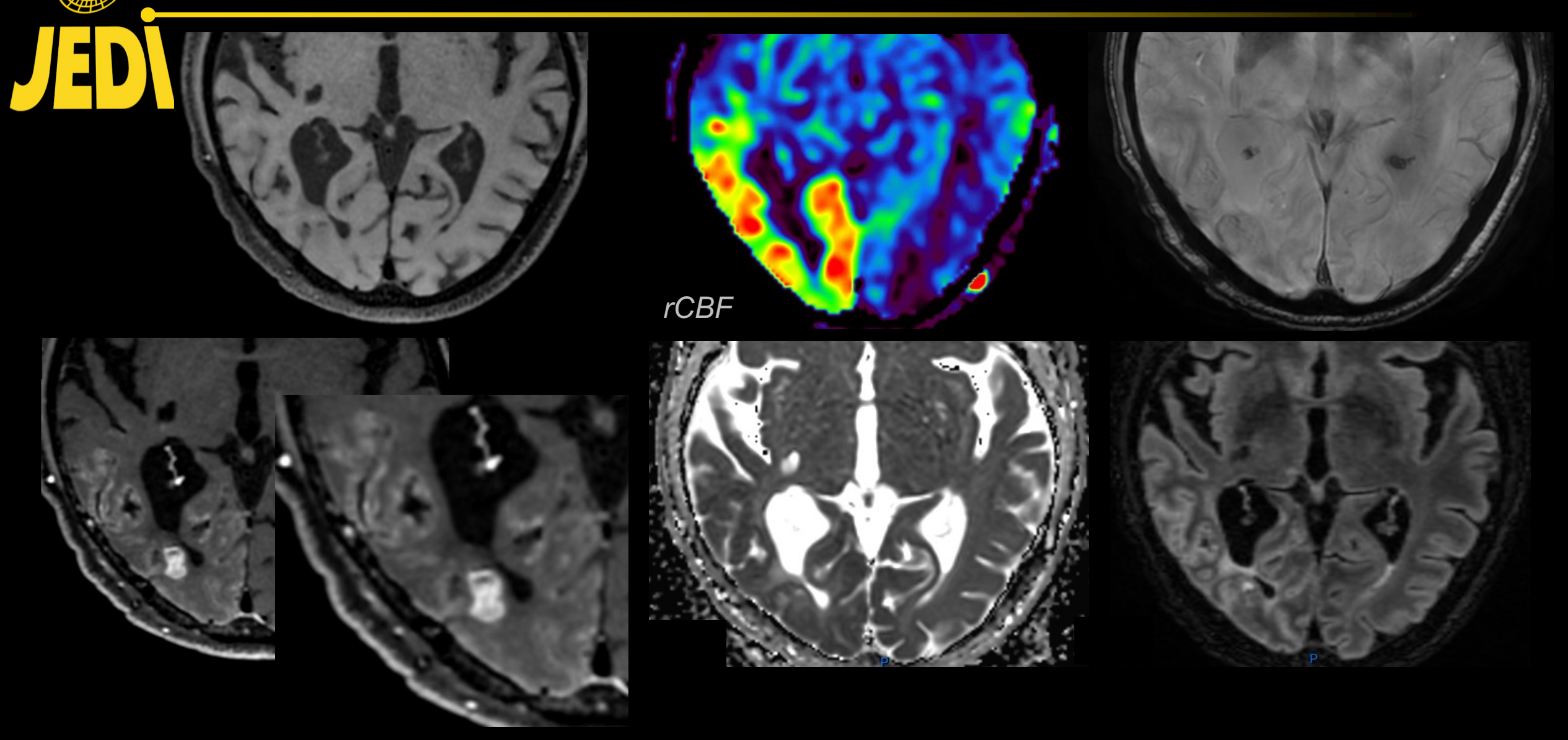


Cas 6 – ♂ 50 ans, HTIC





Cas 6 –à 11ans de la chir-chimio-radiothér.





SMART-syndrome

Stroke-like migraine attacks after radiation thérapie syndrome Complication retardée de la radiothérapie cérébrale

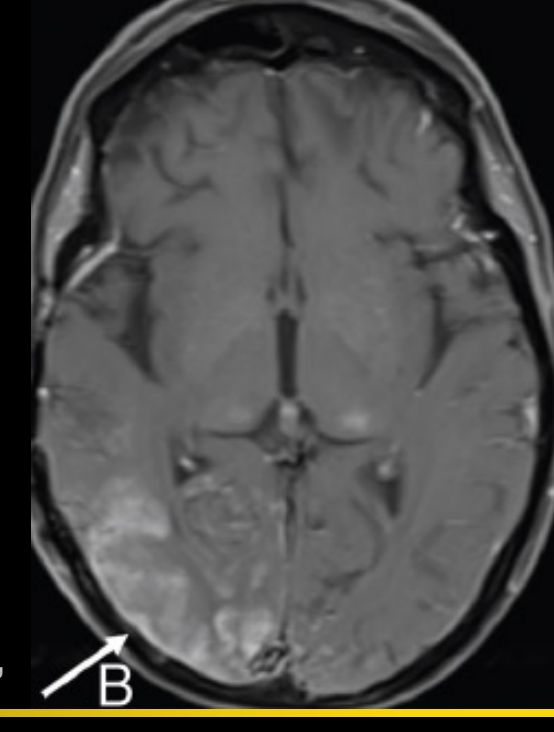
<u>Epidémiologie</u>: Après une irradiation > 50Gy, généralement plusieurs années après la fin du traitement Evolution favorable 2-3 mois après le début des symptômes

<u>Clinique</u>: épilepsie et épisodes « stroke-like » de déficit neurologique aigu accompagné d'une crise migraineuse +/- aura migraineuse (aide à différencier la progression ++)

Histologie: aspécifique

Imagerie: PdC gyrale au premier plan (peut perdurer plusieurs mois)

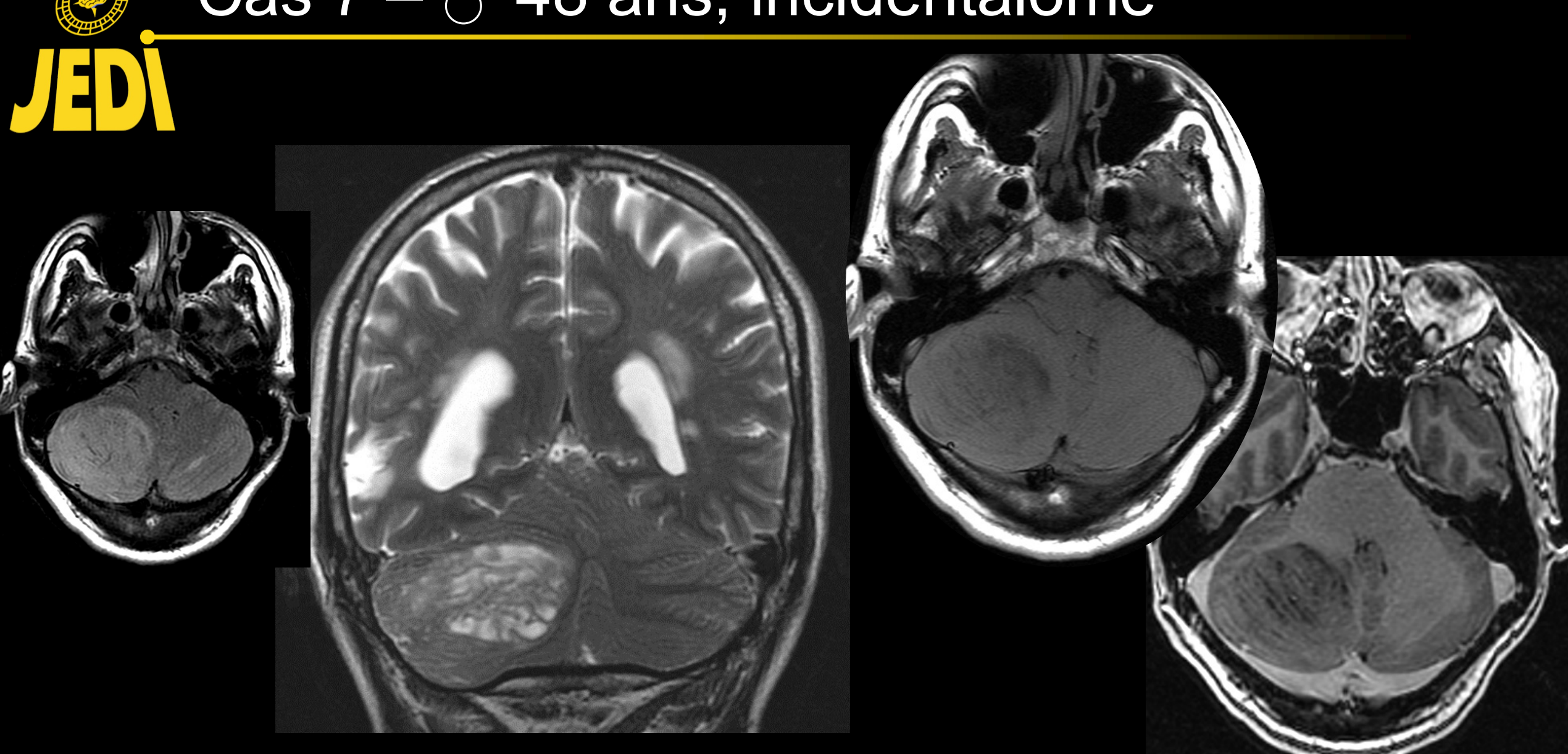
- Epaississement cortical
- Pas/peu de restriction de la diffusion (effet T2 shine-through au 1er plan)
 - Restriction possible, surtout dans la SB sous corticale ++
- Perfusion variable, hyper lors de la crise
- Ne respecte pas un territoire vasculaire
- Généralement unilatéral dans le champs d'irradiation



« Comprehensive update and review of clinical and imaging features of SMART Syndrome », Ota et al., 2023, *AJNR*



Cas 7 – 3 48 ans, incidentalome





Lhermitte-Duclos ou dysplastic cerebellar gangliocytoma

Souvent diagnostiqué de manière incidentelle à un âge jeune (pic = 30 ans)

Epidémiologie : pas de sexe ratio

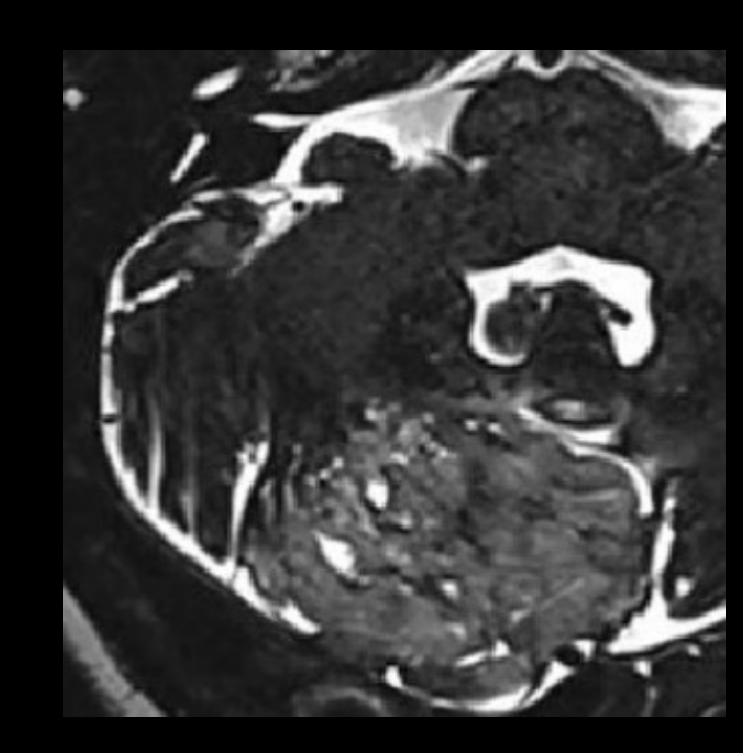
<u>Symptômes</u>: cause rare d'HTIC / hydrocéphalie, parfois syndrome cérébelleux

<u>Histologie</u>: WHO grade I, parfois mutation PTEN (Syndrome COLD)

<u>Imagerie:</u>

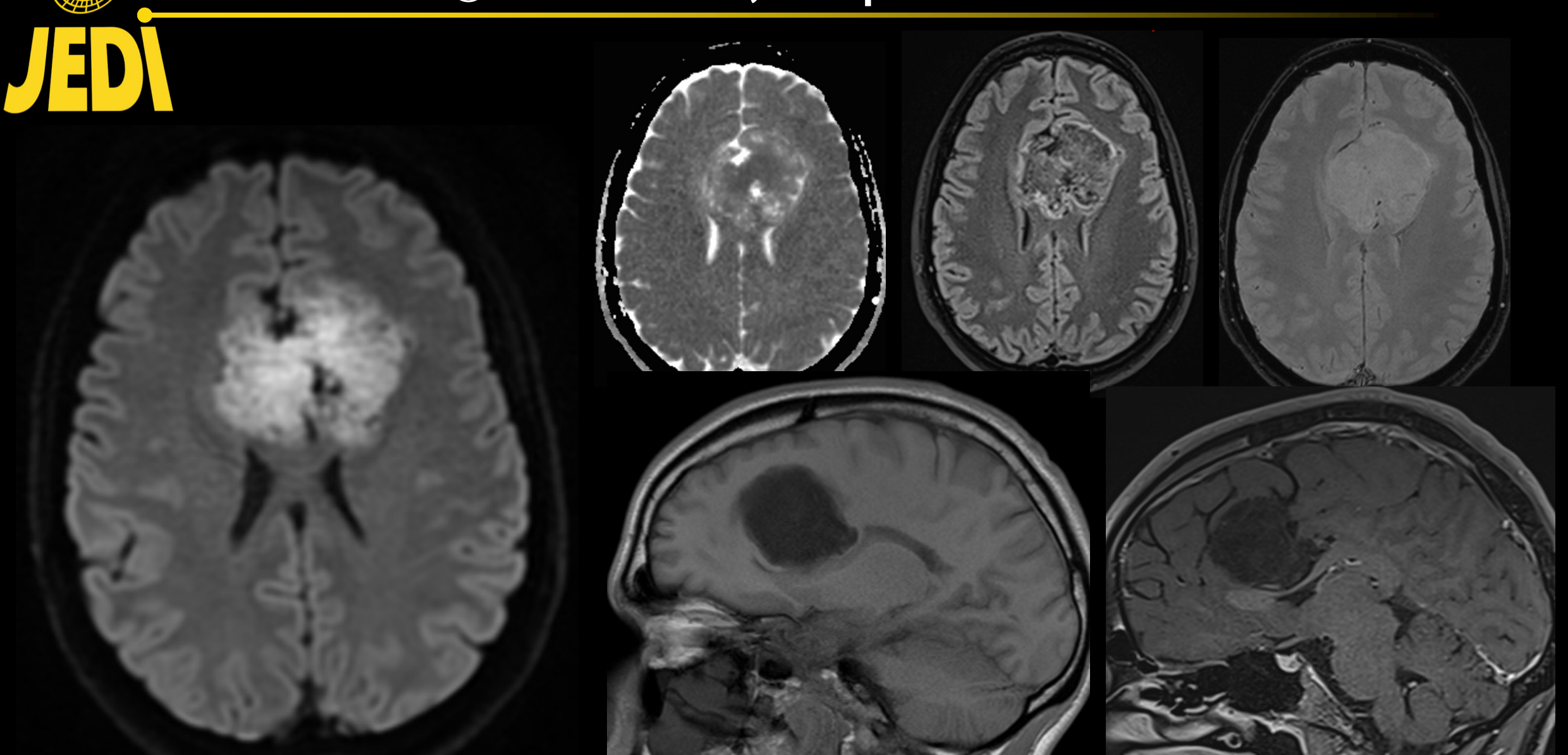
- Localisation : hémisphère cérébelleux unilatéral
- Hypersignal T2 « respectant les sillons » = rayure de tigre
- +/- Prise de contraste linéaire veineuse
- Calcifications possibvles (rares)
- Pas d'hémorragie
- Fausse restriction de la diffusion (comparé au cortex cérébelleux)
- Pas d'hypermétabolisme / perfusion

Revue iconographique des tumeurs neuronales et glioneuronales, mise au point sur la classification WHO 1, JEDI – JFR2023





Cas 8 – 30 ans, céphalées





Kyste épidermoide

Tumeur intracrânienne rare (<1%) provenant de l'inclusion d'élément ectodermique ern intracrânien lors de la fermeture du tube neural. /!\ Sd de Currarino (malf° anorectale + anomalie sacrée + K. épi présacré)

Epidémiologie : pas de sexe ratio certain, découvert entre 20-40 ans sur l'effet de masse

Symptômes: très lentement évolutif

Histologie: WHO grade I, traitement chirurgical ++

<u>Imagerie :</u>

- Localisation : extra-axial (intradural >> extradural (intraosseux)
 - Angle pontocérébelleux ++ (10% des tumeurs de cette région)
 - Citerne suprasellaire, 4^e ventricule, base du crâne moyenne...
 - Interhémisphérique < 5%
- Isosignal au LCS SAUF en diffusion où ils apparaissent en hypersignal
 - Souvent hétérogène en T2 FLAIR (signal > LCS)